

รังสีปริศนา

นิตยา สุวรรณเวลา*
โอลจนา อรรถวัตโน**



ผู้ป่วยหญิงไทยอายุ 19 ปี มาโรงพยาบาลด้วยอาการตาชาญม่องไม่เห็น เพราะมีก้อนเนื้อปริเวณเหนือตาอย่างมาก ที่ ก้อนเนื้อชนิดนี้มักจะเกิดแต่去找ขึ้นช้า ๆ การตรวจร่างกายพบศีรษะและซีกหน้าข้างซ้ายโตกว่าข้างขวา และมีก้อนเนื้อห้อยย้อยในบริเวณเหนือตา หนังตาและซีกหน้าข้างซ้าย ตาชาบิบดับเบิลยู ผิวนังตามทวารมีจุดสีน้ำตาลขนาดต่าง ๆ กระจายอยู่ทั่วทั้ว ลักษณะส่วนบนสนิและเห็นแนวกระดูกสันหลังคด การตรวจร่างกายในระบบอื่น ๆ ไม่พบความผิดปกติ

ได้ถ่ายภาพรังสีของกะโหลกศีรษะท่า postero-anterior ดังในภาพ จงบอกความผิดปกติที่เห็นและให้การวินิจฉัย

* ภาควิชารังสีวิทยา คณะแพทยศาสตร์ จุฬาลงกรณ์มหาวิทยาลัย

** แพทย์ประจำบ้านภาควิชารังสีวิทยา คณะแพทยศาสตร์ จุฬาลงกรณ์มหาวิทยาลัย

เฉลย : การเปลี่ยนแปลงของกะโหลกในโรค Neurofibromatosis

ในภาพรังสีเห็นกะโหลกศีรษะทางซ้าย ใบหน้ากว้างข้างขวาในส่วนกระดูก frontal, temporal และ parietal, middle cranial fossa ในอยู่ขึ้น เบ้าตาข้างซ้ายกว้างกว่าข้างซามาก ผนังของเบ้าตาด้านบนและด้านหลังหายไป เป็นลักษณะเฉพาะอย่างหนึ่งของโรค นอกจากนี้จะเห็นมี hypoplasia ของ ethmoid และ maxillary sinus ข้างซ้าย, floor ของ sella turcica เอียงลงทางซ้าย

Neurofibromatosis หรือ von Recklinghausen's disease เป็น hereditary condition โดยเป็น autosomal dominant หรืออาจพบว่าเกิดขึ้นเองจาก mutation ก็ได้ มีผลทำให้เกิด dysplasia ของ neuroectodermal และ mesodermal tissues. von Recklinghausen ได้บรรยายลักษณะของโรคนี้ครั้งแรกในปี คศ. 1882⁽¹⁾ ในโรค histology จะมีต่าง ๆ กันมากซึ่งอาจเกิดจาก dysplasia ของ neuroectodermal และ mesodermal tissue อาจมี lesion ที่ neuroectodermal sheath cells ของ Schwann และ mesodermal connective tissue.

ลักษณะทางคลินิกได้แก่การมี cutaneous pigmentation (cafe' au lait spots), multiple cutaneous tumors และมี neurofibroma ของ peripheral nerve

สำหรับ skin tumor ในรายนี้เป็นลักษณะที่ผิวนังหัว หย่อนห้อยและซึ่กหน้าโดยทั่วไป ทำให้หน้าตาผิดปกติ เป็น circoid หรือ plexiform neurofibromas

สมองอาจมีการเปลี่ยนแปลงของ cortical architecture และมีการเปลี่ยนแปลงทาง microscopic มากพนนี mental deficiency ด้วยแต่ไม่รุนแรงนัก สมองมักมีขนาดใหญ่ และกะโหลกศีรษะมีขนาดใหญ่

เนื่องจากของสมองพบได้บ่อยดังรายงานของ Pearce⁽²⁾ และผลการตรวจพยาบาลญี่ปุ่น ในปี 1958 ถึง 1968⁽³⁾ พบรูป intracranial tumor ในผู้ป่วย neurofibromatosis ถึงร้อยละ 47

เนื่องจากของระบบประสาทอาจเป็น optic nerve glioma, trigeminal nerve glioma, acoustic neurinoma, meningioma, astrocytoma, ependymoma, hamartoma เป็นที่น้ำอาจพบมี syringomyelia ร่วมด้วย

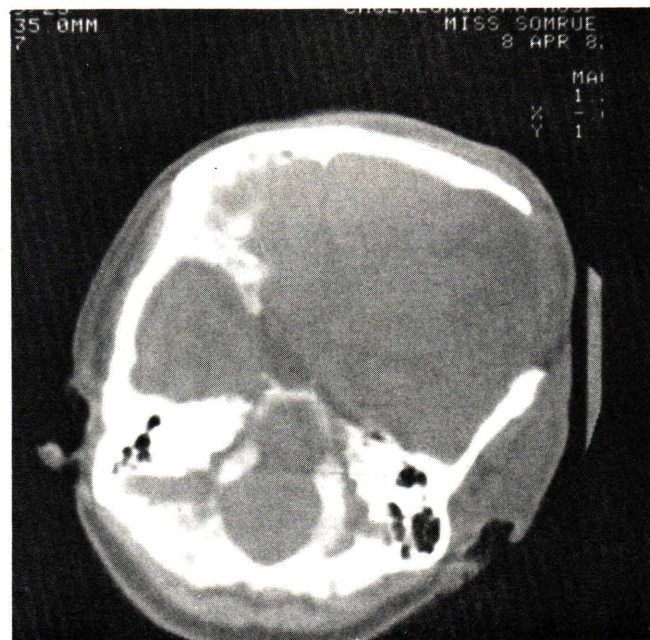
ลักษณะทางรังสีวิทยาอาจสรุปได้ดังนี้^(4,5,6)

ก. การเปลี่ยนแปลงของกะโหลกศีรษะ

1. **Macrocranium** กะโหลกศีรษะมีขนาดใหญ่ขึ้นพบได้ราวร้อยละ 75 เกิดจากการเพิ่มจำนวนของ glial cell สมองมีขนาดใหญ่ขึ้น⁽⁷⁾

2. **Dysplasia of bones** ทำให้มี defect โดยเฉพาะ greater wing ของ sphenoid bone, middle fossa และ orbit กว้างกว้างในภาพรังสีภาพที่ 1 นอกจากนี้อาจมี defect ที่กระดูกกะโหลกศีรษะที่ lambdoid suture หลังท่อ junction ของ parietomastoid และ occipitomastoid suture มักร่วมกับ mastoid ข้างนั้นไม่เรียบ⁽⁸⁾ defect เป็นรูปกลมหรือรีพบร้าบข้างซ้ายมากกว่าข้างขวา

3. **Associated intracranial tumor** พบรการเปลี่ยนแปลงตามลักษณะและตำแหน่งของเนื้องอกเช่น พบร optic foramen โถใน optic glioma หรือ internal acoustic canal กว้างใน acoustic neuroma ซึ่งมักเป็นสองข้าง

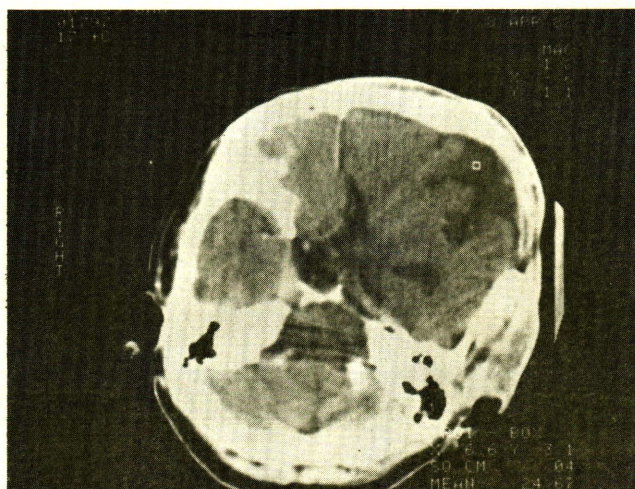


ภาพรังสี CT scan จะเห็นการเปลี่ยนแปลงที่สำคัญ 2 อย่างคือ⁽⁶⁾

1. Developmental anomalies ของกะโหลก และสิ่งทออยู่ภายใน เห็น sphenoid bone หายไป ซึ่งในภาพที่ 2 นี้ sphenoid bone ข้างซ้ายหายไป เห็น bone defect เป็นรูทางค้านข้าง, middle cranial fossa กว้างในภาพที่ 3 จะเห็นว่าเบ้าตาข้างซ้ายถูกเบี้ยด deformed และ posterior และ lateral wall หายไป ส่วนของ temporal lobe ยื่นเบี้ยดเข้าในเบ้าตาซ้าย



ราวนี้ใน 10 ของผู้บ่วยมี mental retardation และ CT จะช่วยในการมี focal หรือ generalized atrophy ของสมองดังในผู้บ่วยรายนี้ ภาพที่ 4 เห็นสมองส่วน left frontal lobe มี atrophy มีช่อง subarachnoid space กว้างมีน้ำอยู่ภายในเห็นเป็นสีดำ



2. **Tumor formation** CT scan จะช่วยให้เห็นก้อนเนื้องอกชนิดต่าง ๆ ได้

บ. Spine and contents

ลักษณะของบุบốiที่สำคัญคือ kyphoscoliosis⁽⁹⁾ ซึ่งพบได้ถึงร้อยละ 10 ถึง 40 มักเป็น segment สั้น ๆ ไม่เกิน 5 vertebral body



อาจพบ posterior vertebral scalloping⁽¹⁰⁾ การเปลี่ยนแปลงของ rib, intervertebral foramen กว้าง⁽¹¹⁾

การมี kyphoscoliosis มักมี dural ectasia ร่วมด้วย เห็นมี dural sac ขนาดใหญ่ ขึ้นและมี erosion ของ pedicle และมี lamina และมี scallop posterior vertebral bodies⁽¹¹⁾ ซึ่งการทำ myelography จะเห็นได้ อาจมี meningocele ร่วมด้วยหรือมี associated tumor นอกจาก neurofibroma เช่น meningioma หรือ neurosarcoma

ค. Thorax

นอกจาก scoliosis แล้วยังพบ rib lesion ร่วมด้วย⁽¹²⁾ เป็นลักษณะ twisted ribbon deformity อาจมี rib notching เป็นผลจาก erosion ของ intercostal neurofibroma หรือเป็นจาก primary defect จาก bone formation

Mediastinal neurofibroma พบร้าได้น้อยในโรคนี้ มีรายงานผู้ป่วยเป็น interstitial pulmonary fibrosis ร่วมกับ neurofibromatosis⁽¹⁸⁾ ลักษณะภาพรังสีปอดเป็น diffuse small irregular pulmonary shadows หรือ honeycombing เมื่อันกับใน tuberous sclerosis ซึ่ง pathogenesis ยังไม่ทราบ

๔. Cardiovascular system

มีอุบัติการของ congenital heart disease สูงในโรคนี้^(14,15) ได้แก่ pulmonary valvular stenosis ซึ่งพบบ่อยที่สุดอาจพบ ventricular septal defect, coarctation, atrial septal defect และ complete heart block

Arterial lesion อาจพบได้ใน autopsy^(18,17) พบร้า renal artery มากที่สุดจาก Schwann-cell proliferation ใน vascular wall ร่วมกับ secondary degenerative change เช่น fibrosis ซึ่งใน angiogram เห็นเป็น smooth constriction ของเส้นเลือดร่วมกับ poststenotic dilatation อาจพบ aneurysmal dilatation ซึ่งมีรายงานที่เสนอเลือดออก^(18,19,20,21)

๕. Extremities

เป็นที่ทราบแน่ชัดว่ามีการเปลี่ยนแปลงในโรคนี้^(4,9,12) อาจพบมี

1. Overgrowth และ periosteal dysplasia แขนขายาวขึ้น กระดูก ilium ขนาดใหญ่ขึ้น มากร่วมกับการเปลี่ยนแปลงที่ผิวนัง elephantiasis neuromatosa จากการมี blood supply เพิ่มขึ้น

Neurofibromatous tissue อาจ involve periosteum ทำให้มี loose attachment กับกระดูกมี subperiosteal hematoma ซึ่งเมื่อหายอาจเป็น calcified cyst

2. Bowing และ pseudoarthrosis ของ long bone มักเป็นที่ tibia

ภาพที่ ๖ ในภาพนี้มีการเปลี่ยนแปลงของ fibula ด้วย กระดูกโกร่งโคงไปข้างหน้าและทาง lateral พบร่วมกับการมี joint ผิดปกติ (pseudoarthrosis) ซึ่งอาจเกิดเองหรือภายหลังมีกระดูกหักหรือหลัง osteotomy เพื่อแก้กระดูกโกร่ง เช่นว่าเกิดจาก defective bone formation นอกจากนี้อาจพบ marginal bony defect ตาม long bone และ rib ซึ่งอาจเกิดจาก dysplastic periosteum



ฉ. Missceleneous lesions

อาจพบความผิดปกติทาง endocrine, metabolism เช่น pheochromocytoma hyperparathyroidism, medullary carcinoma ของ thyroid, carcinoid tumor ของ small bowel, precocious sexual development, ใน urinary tract อาจมี neurofibroma ของ bladder ใน gastrointestinal system อาจพบ lesion ที่ pharynx, esophagus, stomach, small bowel, colon, gallbladder และ pancreas^(6,22) เป็นต้น

เอกสารอ้างอิง

1. Von Recklinghausen F.D: Ueber die multiplen Fibrome der Haut und ihre Beziehung Zu den multiplen Neuromen. Festschrift fur Rudolf Virchow Berlin, August Hirschwald, 1882
2. Pearce J. The central nervous system pathology in multiple neurofibromatosis. Neurology (Minneapolis) 1967 Jul; 17(7): 691-697
3. Horie A, Shigemi U, Fukushima T. Neurofibromatosis complicated by intracranial tumors. Acta Pathol Jpn 1974; 24: 705-716
4. Edeiken J, Hodes PJ. Roentgen Diagnosis of Disease of Bone. Vol 1,2 ed. Baltimore: Williams & 1963
5. Holt JF. Neurofibromatosis in children. Am J Roentgenol 1978 Apr; 130 (4): 615-639
6. Sutton D. A Textbook of Radiology and Imaging. 3 ed. London: Churchill Livingstone, 1980.
7. Weichert KA, Dine MS, Benton C. Macrocranium and neurofibromatosis. Radiology Apr; 107 (4): 163-166

8. Joffe N. Calvarial bone defects involving the lambdoid suture in neurofibromatosis. Br J Radiol Jan; 38 (1): 23-27
9. Klatte EC, EC, Franken EA, Smith JA. The radiographic spectrum in neurofibromatosis. Semin Roentgenol 1979 Jan; 11 (1): 17-33
10. Heard G, Payne EE. Scalloping of the vertebral bodies in von Recklinghausen's disease of the nervous system. J Neurosurg Psychiatry 1962 Nov; 25 (4): 345-351
11. Miles J, Pennybacker J, Sheldon P. Intrathoracic meningocele, its development and association with neurofibromatosis. J Neurol Neurosurg Psychiatry 1969 Apr; 32 (2) : 99-110
12. Hunt JC, Pugh DG. Skeletal lesion in neurofibromatosis. Radiology 1961 Jul; 76 (1): 1-20
13. Massaro D, Katz S: Fibrosing alveolitis: its occurrence, roentgenographic, and pathologic features in von Recklinghausen's neurofibromatosis. Am Rev Dis 1966 Jun; 93 (6) : 934-942
14. Neiman HL, Mena E, Holt JF, Stern AM, Perry BL. Neurofibromatosis and congenital heart disease. Am J Roentgenol 1974 Sep; 122 (1): 146-149
15. Watson GH. Pulmonary stenosis, cafe'-au-lait spots, and dull intelligence, Arch Dis Child 1967 Jun; 42 (223) : 303-307
16. Mena E, Bookstein JJ, Holt JF, Fry WJ. Neurofibromatosis and renovascular hypertension in children. Am J Roentgenol 1973 May; 118 (1) : 39-45
17. Tilford DL, Kelsch RC. Renal artery stenosis in childhood neurofibromatosis. Am J Dis Child 1973 Nov; 126 (5) : 665-668
18. Voigt K, Beck U. Arterial developmental anomalies on one hemisphere with inter and intrahemispheric steal effects in neurofibromatosis. (Recklinghausen's disease) Radiol Clin Biol 1974; 43 : 483-493
19. Halpern M, Currarino G. Vascular lesions causing hypertension in neurofibromatosis. N Eng J Med 1965 Jul 29; 273 : 248-252
20. Hilal SK, Solomon GE, Gold AP, Carter S. Primary cerebral arterial occlusive disease in children. Part II Neurocutaneous syndromes. Radiology 1971 Apr; 99: 87-94
21. Itzhak Y, Katzenelson D, Boichis H, Jonas A, Deutsch V. Angiographic features of arterial lesions in neurofibromatosis. Am J Roentgenol 122 (3); 643-647
22. Reeder MM, Gelford GJ, Robb PL. An exercise in radiologic-pathologic correlation. Radiology 1968 May; 90 (5) : 1023-1029